

Cálculo de constantes ópticas de películas delgadas de Silicio compensado a través del método de Swanepoel

W. A. Rojas C.,^{1,*} M. Chaparro P.,^{1,**} L. M. Pardo C.,^{1,***} and M. I. Cruz F.,^{1,****}

¹*Department of Physics, Universidad Nacional de Colombia
sede Bogotá, postcode UN. 11001
Colombia*

Characterization and determination of the optical constants for thin film silicon compensated through the transmittance spectrum is presented. Such properties were determined by R. Swanepoel model. Comparison between the refractive indices of pure silicon and silicon compensated. Increasing refractive index behavior at low wavelengths in both plots was observed. The difference lies in the concentration and type of element that has been added to the thin film. The behavior of the dielectric constant was studied, their relationship with the refractive index. It is found that the value of the dielectric constant to a thin film of silicon compensated agree with those reported in the literature. The reported value of the gap for pure silicon corresponds to $1,11eV$ and the value of the gap for the sample corresponds to $0,7275eV$, the discrepancy is due to the level of concentration in the compensated silicon film.

Keywords: Thin films, optical constants, Swanepoel method.

PACS numbers: 78.20.Ci, 78.20.-e, 78.66.Qn

I. INTRODUCCIÓN

Se presenta la caracterización y determinación de las constantes ópticas para una película delgada de Silicio compensado a través del espectro de transmitancia. Tales propiedades fueron determinadas por el modelo de R. Swanepoel. El modelo propuesto por R. Swanepoel proporciona una forma para determinar las propiedades ópticas de las películas delgadas, las propiedades estudiadas fueron el índice de refracción n , el espesor de la película d , el índice de absorción α , el coeficiente de extinción k y la brecha de energía prohibida óptica (también conocida como gap) E_g [1, 2]. Se contrastaron los valores del espesor d y el experimental d_p que fue medido en un perfilómetro Dektak 150. A la película en estudio se le practicaron 5 ensayos de perfilometría en los que se determinó que el espesor es $d_p = 308,4998nm$ valor que fue comparado con el modelo $d = 282,96nm \pm 8\%$. La determinación de los T_M y T_m se realizó por interpolación de Lagrange. Esto permitió determinar una ecuación de Cauchy de la forma

$$n(\lambda) = \frac{596000}{\lambda^2} + 3,4672. \quad (1)$$

De la comparación entre los índices de refracción del Silicio puro y del Silicio compensado se observó el comportamiento creciente del índice de refracción para bajas longitudes de onda en

*Electronic address: wrojasc@unal.edu.co

**Electronic address: mchapparop@unal.edu.co

***Electronic address: lpardoc@unal.edu.co

****Electronic address: micruzf@unal.edu.co

ambas gráficas. La diferencia radica en la concentración y los elementos que se le han aadido a la película en estudio. Se estudio el comportamiento de la constante dieléctrica, su relación con el índice de refracción. Hallándose que el valor de la constante dieléctrica para una película delgada de Silicio compensado esta de acuerdo con lo reportado en la literatura. El valor reportado del gap para el Silicio en puro corresponde a $1,11eV$ y el valor del gap para la muestra estudiada corresponde a $0,7275eV$, la discrepancia se debe al nivel del concentración con que está compensada la película de Silicio.

A. El modelo

En este punto se seguirá el análisis realizado por Mesa et al [2]. Swanepoel, presenta un procedimiento para calcular las constantes ópticas de películas delgadas de materiales semiconductores amorfos a partir de datos obtenidos experimentalmente del espectro de transmitancia. Este procedimiento asume un sistema compuesto por una película delgada homogénea en espesor y con índice de refracción complejo $\eta = n - ik$ que es depositada sobre un sustrato transparente de índice de refracción s y espesor mayor que el de la película, tal como se puede ver en la Figura 1. La parte

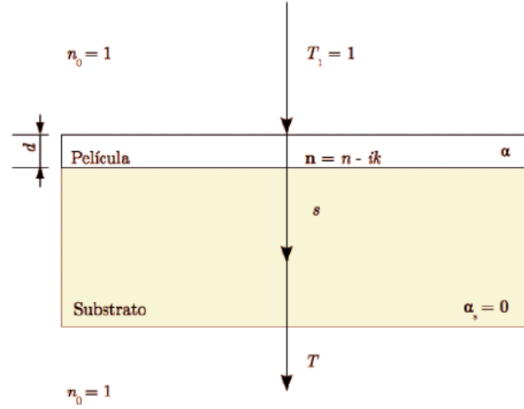


Figura 1: Sistema compuesto por una película delgada absorbente sobre un sustrato transparente finito [2].

real n del índice de refracción determina la velocidad con que la radiación se propaga en el material y el factor k es expresado en términos α de la forma

$$\alpha = \frac{4\pi k}{\lambda}. \quad (2)$$

Esto permite realizar un análisis de los efectos de interferencia que se observan en los espectros de transmitancia como consecuencia de la superposición de los haces reflejados y transmitidos en las interfaces película/aire y sustrato/película, obteniendo una expresión general para el valor de la transmitancia T en función de la longitud de onda λ y de los parámetros n , s , α y espesor d

$$T = \frac{A}{B - Cx + Dx^2}, \quad (3)$$

donde se tienen que los parámetros A , B , C y D son

$$A = 16s [n^2 + k^2], \quad (4)$$

$$B = \{[n + 1]^2 + k\} \{[n + 1] [n + s^2] + k^2\}, \quad (5)$$

$$C = \{[n^2 - 1 + k^2] [n^2 - s^2 + k^2] - 2k^2 [s^2 + 1]\} 2 \cos \phi - 2k \{2 [n^2 - s^2 + k^2] + [s^2 + 1] [n^2 - 1 + k^2]\} \sin \phi, \quad (6)$$

$$D = \{[n - 1]^2 + k^2\} \{[n - 1] [n - s^2] + k^2\}, \quad (7)$$

$$\phi = \frac{4\pi d}{\lambda}, \quad (8)$$

$$x = e^{-\alpha d} \quad (9)$$

y

$$\alpha = \frac{4\pi k}{\lambda}. \quad (10)$$

El espectro puede ser dividido en cuatro regiones, tal como se ve en la Figura 2. En la región transparente $\alpha = 0$ y la transmitancia se encuentra determinada por n y s a través de las reflexiones múltiples. En la región de absorción débil α es bajo y la transmitancia empieza a reducirse; en la región de absorción media α crece y la transmitancia disminuye debido al efecto de $\alpha \neq 0$. En la región de fuerte absorción, la transmitancia disminuye drásticamente debido, casi exclusivamente, a la influencia de α . Para una primera aproximación, se consideró únicamente el sustrato de modo

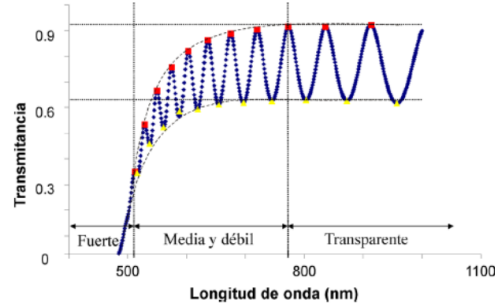


Figura 2: Espectro de transmitancia en el cual se han definido tres regiones de alta, media-baja y absorción nula, tal espectro se halla delimitado por dos curvas envolventes para los puntos de transmitancia máximos T_M y mínimos T_m [2].

que la transmitancia es considerada libre de interferencia de la forma

$$T_s = \frac{[1 - R]^2}{1 - R^2}, \quad (11)$$

donde T_s corresponde al coeficiente de transmitancia, incidiendo normalmente sobre la superficie del sustrato y R es el coeficiente de reflexión de la muestra o la película

$$R = \left[\frac{s-1}{s+1} \right]^2. \quad (12)$$

Por lo que T_s se reescribe como

$$T_s = \frac{2s}{s^2+1}. \quad (13)$$

Y el valor posible del índice de refracción s para el sustrato queda

$$s = \frac{1}{T_s} \pm \sqrt{\frac{1}{T_s^2} - 1}, \quad (14)$$

en donde sólo se debe considerar la parte positiva de la anterior expresión. De otro lado, se tiene que las franjas de interferencia están descritas de la forma

$$2nd = m\lambda \quad (15)$$

donde $m = 0, 1, 2, \dots$; que produce el patrón de interferencia en películas delgadas. En tal sentido, Swanepoel propone una simplificación en las expresiones, para un sistema compuesto por una película absorbente sobre un sustrato transparente finito y para el caso de un sustrato asumido infinito. Sí se considera que $k = 0$, que resulta ser una aproximación válida en la mayor parte de la región espectral [1, 2], la transmisión T está dada por

$$T = \frac{Ax}{B - Cx \cos \varphi + Dx^2}, \quad (16)$$

en donde los parámetros A, B, C, D, φ y x se reescriben como

$$A = 16n^2s, \quad (17)$$

$$B = [n+1]^3 [n+s^2], \quad (18)$$

$$C = 2 [n^2-1] [n^2+s^2], \quad (19)$$

$$D = 2 [n-1]^3 [n+s^2], \quad (20)$$

$$\varphi = \frac{4\pi nd}{\lambda}, \quad (21)$$

y

$$x = e^{-\alpha d}. \quad (22)$$

La absorbancia x para del sistema términos de la transmitancia libre de interferencia T_α de la forma

$$x = \frac{P + \sqrt{P^2 + 2QT_\alpha[1 - R_2R_3]}}{Q}, \quad (23)$$

en donde los parámetros P , Q , R_1 , R_2 y R_3 son

$$Q = R_1R_2 + R_1R_3 - 2R_1R_2R_3, \quad (24)$$

$$P = [R_1 - 1][R_2 - 1][R_3 - 1], \quad (25)$$

$$R_1 = \left[\frac{1 - n}{1 + n} \right]^2, \quad (26)$$

$$R_2 = \left[\frac{n - s}{n + s} \right]^2, \quad (27)$$

y

$$R_3 = \left[\frac{s - 1}{s + 1} \right]^2. \quad (28)$$

Es posible plantear dos funciones que describan los extremos de las franjas de interferencia de la forma

$$T_M = \frac{Ax}{B - Cx + Dx^2} \quad (29)$$

para los máximos T_M de la Figura 2. Y de la misma manera para los mínimos T_m

$$T_m = \frac{Ax}{B + Cx + Dx^2}. \quad (30)$$

Este modelo ha repartido el espectro de transmitancia en tres regiones de acuerdo al proceso de absorción en la película a saber:

1. Región transparente, definida como aquella región del espectro donde se puede considerar que $\alpha = 0$, $x = 1$, por lo que la posición de los T_M queda definida como

$$T_M = \frac{2s}{s^2 + 1}. \quad (31)$$

La posición de los mínimos T_m es

$$T_m = \frac{4n^2}{n^4 + n^2(s^2 + 1) + s^2}. \quad (32)$$

Y el índice de refracción de la película delgada para esta región es

$$n = \sqrt{M + \sqrt{M^2 - s^2}}, \quad M = \frac{2s}{T_m} + \frac{s^2 + 1}{2}. \quad (33)$$

2. Región de baja y media absorción, para esta zona del espectro de transmitancia se tiene que $\alpha \neq 0, x < 1$, por lo que la relación de la resta de sus inversos multiplicativos de (29) y (30) es

$$\frac{1}{T_m} - \frac{1}{T_M} = \frac{2C}{A}. \quad (34)$$

Y el índice de refracción de la película delgada para esta región es

$$n = \sqrt{N + \sqrt{N^2 - s^2}}, \quad N = 2s \left[\frac{T_M - T_m}{T_M T_m} \right] + \frac{s^2 + 1}{2}. \quad (35)$$

la absorbancia x en términos de los T_M es

$$x = \frac{E_M - \sqrt{E_M^2 - (n^2 - 1)^3 (n^2 - s^2)}}{(n - 1)^3 (n - s^2)}, \quad E_M = \frac{8n^2 s}{T_M} + (n^2 - 1) (n^2 - s^2). \quad (36)$$

La suma de los recíprocos de (29) y (30) conduce a

$$\frac{2T_M T_m}{T_M + T_m} = \frac{Ax}{B + Dx^2}. \quad (37)$$

la absorbancia x en términos de los T_i es

$$x = \frac{F - \sqrt{F^2 - (n^2 - 1)^3 (n^2 - s^2)}}{(n - 1)^3 (n - s^2)}, \quad F = \frac{8n^2 s}{T_i}, \quad T_i = \frac{2T_M T_m}{T_M + T_m}, \quad (38)$$

Donde T_i representa una curva que pasa a través de los puntos de inflexión de las franjas presentadas en la Figura 2. La transmitancia libre de interferencias T_α se calcula como

$$T_\alpha = \frac{Ax}{\sqrt{[B - Cx \cos \varphi + Dx^2][B + Cx \cos \varphi + Dx^2]}} = \sqrt{T_M T_m}. \quad (39)$$

donde se tiene que T_α corresponde a la media geométrica de T_M y T_m .

3. Región de intensa absorción, en esta situación, las franjas de interferencia desaparecen, por lo que no hay forma de calcular n y x independientemente en esta región a partir del espectro de transmitancia únicamente. Si se desprecian los efectos debido a la interferencia en la película, bajo la condición $x \ll 1$

$$T_0 = \frac{Ax}{B}, \quad x \approx \frac{(n - 1)^3 (n + s^2)}{16n^2 s} T_0. \quad (40)$$

II. MONTAJE Y EQUIPOS EMPLEADOS

A. Espectro de transmitancia

Para determinar el tipo de espectro de transmitancia de la muestra suministrada (Silicio compensado), se empleó un espectrofotómetro UV-Vis-IR. El Cary 5000 es espectrofotómetro UV -Vis -NIR



Figura 3: Espectrofotómetro Cary 5000 del Departamento de Física de la Universidad Nacional de Colombia.

con rendimiento fotométrico el rango de $175 - 3300\text{nm}$ y con una margen de error $\Delta\lambda = 0,02\text{nm}$. El uso de un detector de PbSmart, el Cary 5000 amplía su gama NIR a 3300 nm y es controlado por el software Cary WinUV, que se halla disponible en las instalaciones del Departamento Física de la Universidad Nacional de Colombia, tal como se halla en la Figura 3. Con este equipo y la muestra de Silicio compensado se obtuvo el espectro de transmitancia de la película que se puede ver en la Figura 4. El proceso se repitió dos veces para verificar el espectro de la película, el cual

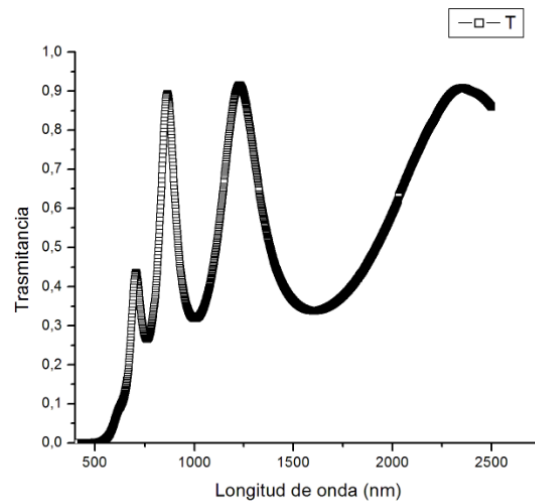


Figura 4: Espectro de transmitancia para una película delgada de silicio compensado. Primera prueba.

se puede ver en la Figura 5. De lo anterior se observa, que los dos espectros tomados a la misma muestra son similares, se opta por caracterizar la película de muestra con el espectro de la primera prueba, ver Figura 4. Para determinar el índice de refracción del sustrato s , se realizó un espectro de transmitancia al sustrato (vidrio) por separado, es decir sin película, del cual se obtuvo el espectro que se observa en la Figura 6.

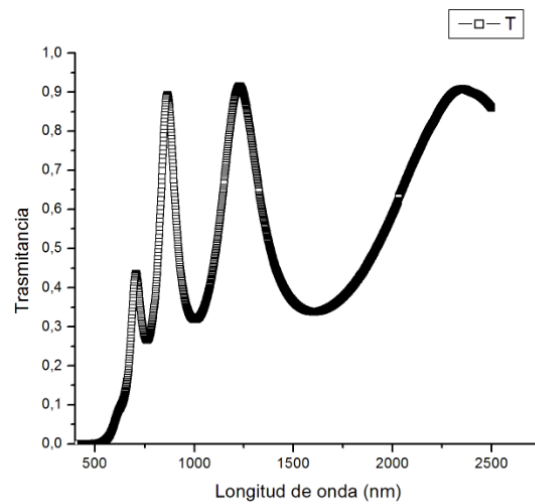


Figura 5: Segunda prueba.

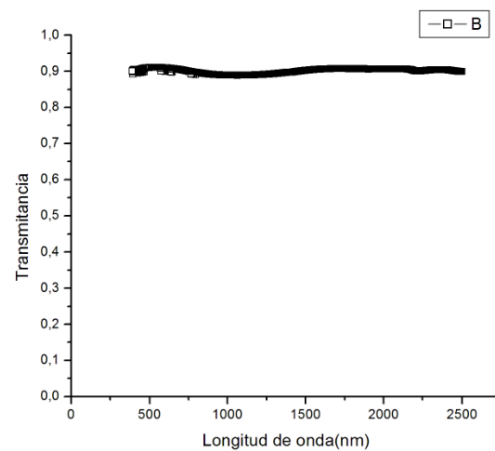


Figura 6: Espectro de transmitancia para el sustrato sin película delgada.

B. Espesor de la película delgada de Silicio compensado.

El perfilómetro es un equipo que puede tomar espesores y rugosidades de películas delgadas, del orden de las micras, opera mediante una torre donde tiene una cámara (zoom 166x), con una punta (diamante) y un sensor de proximidad. La punta hace contacto con la muestra, mediante el brazo hace un barrido desde el sustrato hasta la muestra, a medida que la punta de diamante hace contacto con la superficie, en su brazo tiene un solenoide de fuerza, este sirve para ir graduando como debe interactuar la punta con la muestra. El perfilómetro toma la seal de espesor de la película

mediante un sensor (Low-Inertia Sensor LIS 3) que se denomina LVDT, y este opera haciendo que las variaciones mecánicas se conviertan en seales de corriente continua que son enviadas al software para ser interpretadas como espesores de la muestra. Después de hacer el barrido y enviar las seales al software, este presenta una imagen del espesor de la muestra tomando como referencia el sustrato, de acuerdo con esto, se puede realizar por medio del software una aproximación promedio del espesor de la película. De igual manera, presenta la distancia vertical punto a punto del sustrato y de la muestra, ver Figura 7.

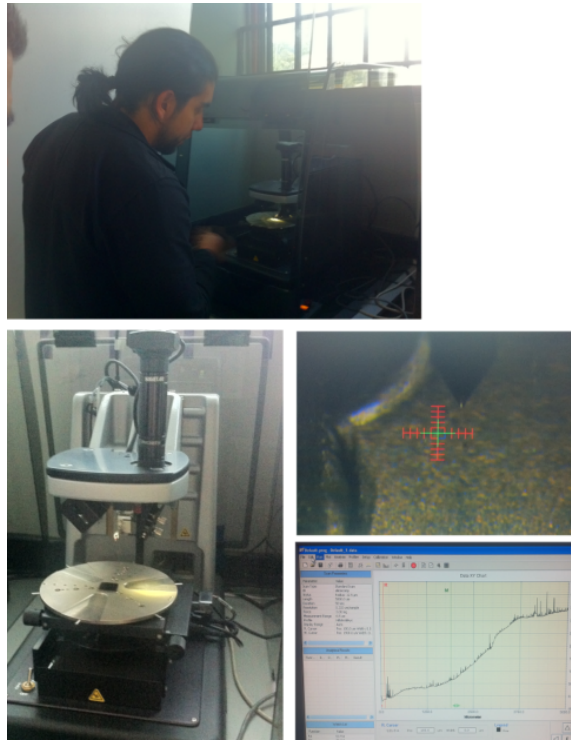


Figura 7: Equipo de perfilometría disponible en Departamento de Física de la Universidad Nacional de Colombia.

A la película en estudio se le hicieron 5 ensayos para determinar su espesor experimental $\langle d_p \rangle = 308,4998nm$. Una curva típica que muestra el equipo de perfilometría para la muestra en estudio se puede ver en la Figura 8.

III. ANÁLISIS DE RESULTADOS

Una vez obtenidos el espesor de la película y los espectros en el rango

$$300nm \leq \lambda \leq 2500nm, \quad (41)$$

para tal intervalo, de acuerdo con el espectro de transmitancia del sustrato que se observa en la Figura 6, se advierte que la transmitancia no fluctúa de manera considerable para el rango de

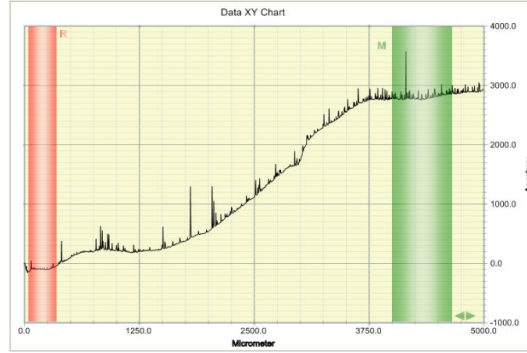


Figura 8: Curva típica para la muestra en estudio.

longitud de onda establecido. Por lo que se considera tal transmitancia constante

$$\langle T_s \rangle = 0,9003 \pm 0,0066. \quad (42)$$

Lo cual permite obtener el índice de refracción del sustrato a partir de (13)

$$s = 1,5142. \quad (43)$$

Del espectro que se aprecia en la Figura 4. se obtuvieron los siguientes valores de T_M y T_m

$\lambda(nm)$	T_M	T_m
707.0115	0.4355	—
866.0608	0.8925	—
1230.0042	0.9144	—
761.9995	—	0.2654
1006.0133	—	0.3176
1607.0092	—	0.3378

Cuadro I: Valores experimentales para los T_M y T_m del espectro de la Figura 4.

De acuerdo con los valores consignados en el Cuadro I para el espectro de transmitancia de la Figura 4, se calcularon los valores intermedios de T_M y de T_m por el método de interpolación de Lagrange, ver Apéndice A. Este método permite calcular las curvas envolventes del espectro en cuestión, tal como se aprecia en la Figura 9.

Se aprecia que la región de baja y media absorción corresponde al intervalo de

$$700nm \leq \lambda \leq 1800nm. \quad (44)$$

Para la región de baja y media absorción establecida es posible calcular el índice de refracción de la película $n(\lambda)$ por unidad de longitud de onda a partir de (34). Esto permitió construir la gráfica de $n(\lambda)$ vs λ que se observa en la Figura refF9.

Se puede realizar un comparativo del comportamiento del índice de refracción $n(\lambda)$ de la película en estudio y el comportamiento del índice refracción para el Silicio puro reportado en la literatura

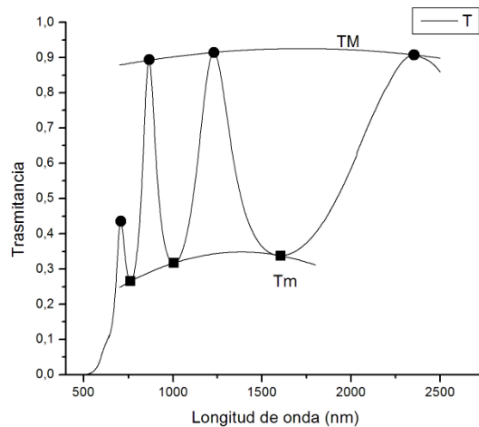


Figura 9: Se aprecia el espectro de transmitancia para la película de Silicio compensada, en donde se trazan los puntos T_M y T_m experimentales, junto con las curvas envolventes que se determinaron por el método de interpolación de Lagrange.

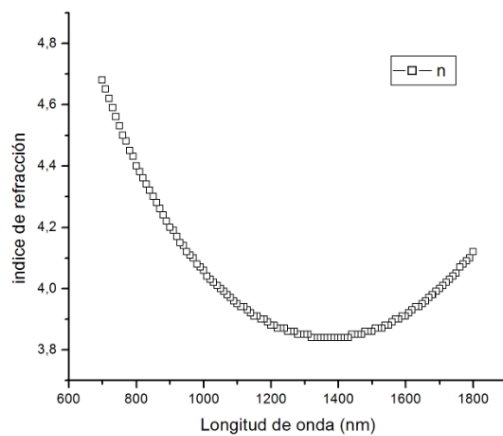


Figura 10: Comportamiento de índice de refracción $n(\lambda)$ en función de la longitud de onda λ para el intervalo $700nm \leq \lambda \leq 1800nm$.

[6], el cual se puede ver en la Figura 11 y 12. De la comparación entre las Figuras 10, 11 y 12 se observa un comportamiento creciente del índice de refracción para bajas longitudes de onda en ambas gráficas. La diferencia radica en el tipo de concentración y los elementos que se le han aadido a la película en estudio. Por definición se conoce que

$$nv = c, \quad (45)$$

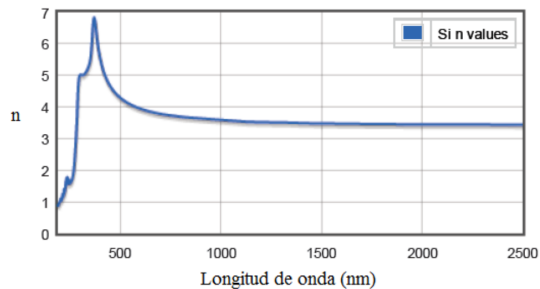


Figura 11: Comportamiento del índice refracción $n(\lambda)$ vs λ para el Silicio, Tomado de Handbook of Optical Constants of Solids, Edward D. Palik. Academic Press, Boston, 1985.

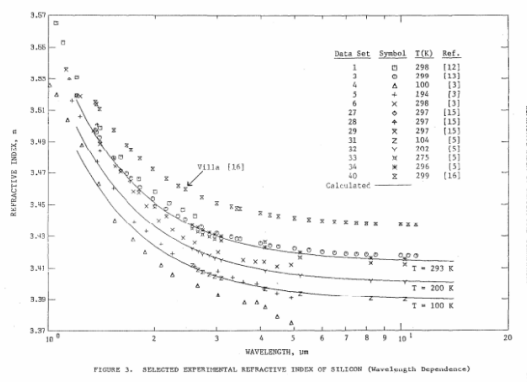


Figura 12: Comportamiento del índice refracción $n(\lambda)$ vs λ para el Silicio, Tomado de <http://www.nist.gov/data/PDFfiles/jpcrd162.pdf>

$$n \frac{1}{\sqrt{\epsilon\mu}} = \frac{1}{\sqrt{\epsilon_0\mu_0}}, \quad (46)$$

donde se tiene que ϵ_i y μ_i corresponden a la permitividad y la permeabilidad del medio i respectivamente. Si la película delgada de Silicio compensado no es magnética $\mu \approx \mu_0$. Por lo que índice de refracción de la película delgada se reduce a

$$n = \sqrt{\frac{\epsilon}{\epsilon_0}}. \quad (47)$$

De lo anterior, se puede deducir el comportamiento de la permitividad de la película delgada. Además, es posible determinar la constante dieléctrica κ para la película delgada está dada por

$$\kappa = \frac{\epsilon}{\epsilon_0} = n^2, \quad (48)$$

cuyo comportamiento se observa en la Figura 13. En la literatura se halla que el valor de la constante dieléctrica κ para el Silicio en estado puro corresponde a $\kappa = 11,7$, y en la misma Figura se muestra

que para el intervalo de longitud de onda tenemos que la constante dieléctrica está en el intervalo de

$$13,94 \ll \kappa \ll 20,7.$$

Lo cual confirma que la constante dieléctrica corresponde al mismo orden de magnitud con lo reportado en la literatura [8]. Se conoce que la ecuación de Cauchy es de la forma

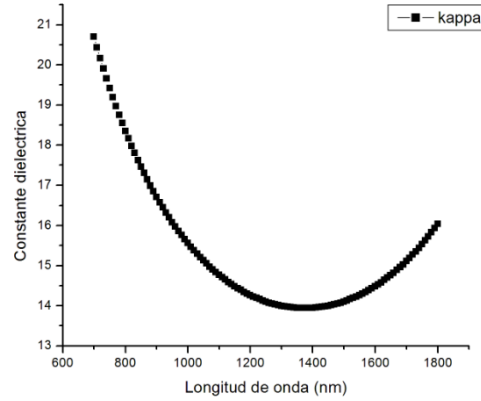


Figura 13: Comportamiento de la constante dieléctrica κ en función de la longitud de onda λ para el intervalo $700nm \leq \lambda \leq 1800nm$.

$$n = a \frac{1}{\lambda^2} + c, \quad (49)$$

donde se tiene que a corresponde a la pendiente y c es el punto de corte de la recta con el eje y . Por el método de mínimos cuadrados se determinó que la ecuación para los puntos hallados con (49) es de la forma

$$n(\lambda) = \frac{596000}{\lambda^2} + 3,4672, \quad R = 0,9993. \quad (50)$$

Posteriormente, con el espectro en estudio se determinaron los puntos máximos de orden l que se observan en la Figura 15. Esto permite hallar de una manera indirecta el espesor de la película delgada de Silicio compensado. Dada la relación

$$\frac{l}{2} = 2d \left[\frac{n}{\lambda} \right] - m_1. \quad (51)$$

La cual es representada en la Figura 16.

Posteriormente, se representan los datos consignados en el Cuadro II que permite hallar de manera indirecta el espesor de la película d . Donde se calculó el ajuste de la recta para la Figura 16 que corresponde a

$$\frac{l}{2} = 2(282,98nm) \left[\frac{n}{\lambda} \right] - 0,3 \quad (52)$$

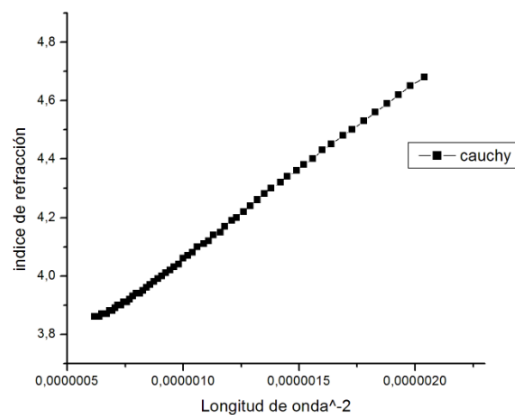


Figura 14: Comportamiento de índice de refracción $n(\lambda)$ en función de $\frac{1}{\lambda^2}$ para el intervalo $700nm \leq \lambda \leq 1800nm$ de acuerdo a la ecuación de Cauchy.

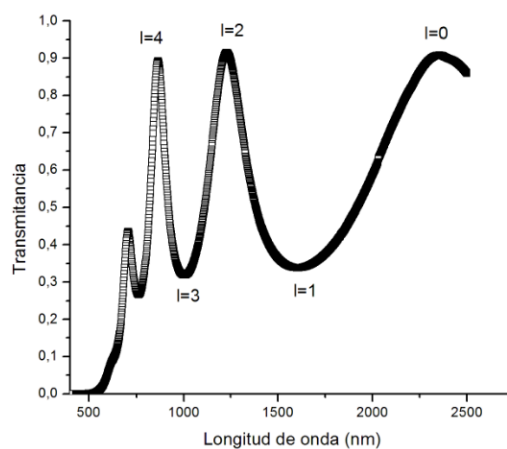


Figura 15: Puntos máximos de orden l .

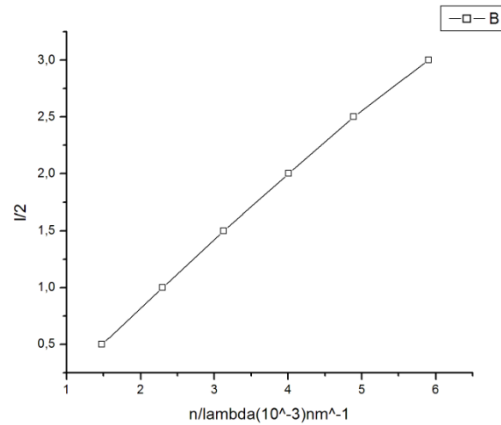
donde se identifican los términos

$$m_1 = 0, 3, \quad 2d = 565,97nm. \quad (53)$$

De lo cual se puede afirmar que el espesor teórico es $d = 282,98nm$ y $m_1 \approx 0,5$.

Posteriormente, se calcula el coeficiente de absorción $\alpha(\lambda)$ a partir de (22) y (36). En la Figura 17 se observa el comportamiento del coeficiente de absorción α en función de la longitud de onda. Se tiene que el coeficiente de absorción aumenta con la disminución de la longitud de onda. Esto puede deberse a que se está aproximando a la frecuencia natural de la película. El siguiente paso,

$\lambda(nm)$	$n/\lambda (*10^{-3}) nm^{-1}$	$l/2$
760	5.9	3,0
870	4.89	2,5
1010	4.01	2,0
1230	3.13	1,5
1610	2,30	1.0
2350	1,48	0.5

Cuadro II: Valores experimentales para los n/λ y l .Figura 16: Gráfica de $l/2$ vs n/λ para determinar el numero de orden y el espesor la película.

es calcular el coeficiente de extinción k a partir de (1) y cuyo comportamiento en función de λ se aprecia en la Figura 18. De las Figuras 11 y 18 es posible determinar el índice de refracción complejo $\eta = n - ik$ por unidad de longitud de onda. Para la determinación de la banda de energía prohibida E_g se recurre a representar los valores del coeficiente de absorción $\alpha(\lambda)$ vs $E = \frac{hc}{\lambda}$ que se observan en la Figura 19. Lo cual permite realizar una extrapolación de la región que presenta un comportamiento lineal y determinar el punto de corte de una recta dibujada sobre dicha región y el eje $E = \frac{hc}{\lambda}$. Tal punto corresponde a

$$E_g = 1,1655 * 10^{-28} J \approx 0,7275 eV. \quad (54)$$

De acuerdo a Kittel el valor reportado del gap de Silicio puro corresponde a $1,11 eV$ a una temperatura de $300K$ [3]. La diferencia entre el valor reportado y el hallado en el presente informe se deben atribuir a dos posibles razones:

- Margen de error en el presente cálculo dado que el error para el gap de la muestra en estudio corresponde a $2,842\%$ que se puede ver en el Apéndice B.
- Nivel de concentración de las impurezas u otros elementos presentes en la muestra en estudio.

La presencia de impurezas permiten que se presenten transiciones de los portadores de carga de menor energía entre la banda de valencia y la banda de conducción. Para el presente estudio

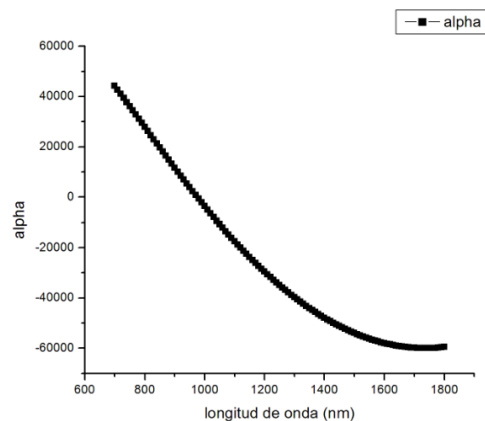


Figura 17: Comportamiento del coeficiente de absorción α en función de la longitud de onda λ .

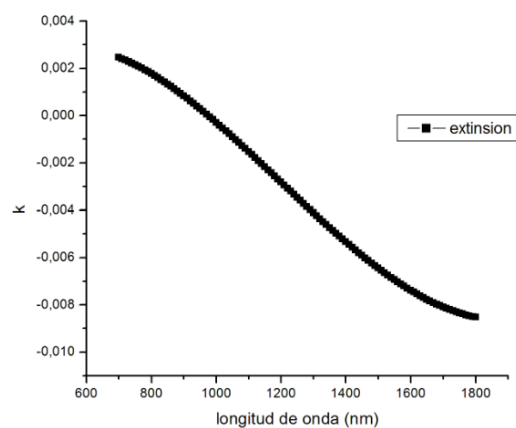


Figura 18: Comportamiento del coeficiente de extinción k en función de la longitud de onda λ .

no es posible determinar qué tipo de portadores de carga hay presentes en la muestra, ello se podrá determinar en otro tipo de pruebas tales como someter la película a un estudio de efecto Hall. Se sabe que en un semiconductor se denomina de gap directo cuando el mínimo de la banda de conducción y el máximo de la banda de valencia se dan para el mismo valor de k . De lo contrario es de gap indirecto, como se sabe el silicio y el germanio poseen un gap indirecto [3]. En otras palabras el gap directo se caracteriza por la transferencia de electrones de la banda de valencia a la banda de conducción mediante la interacción solo de electrón-fotón. En el caso del gap indirecto además de la interacción electrón-fotón la transición de a la banda de conducción debe estar mediada por un fonón [3]. Tal como se observa en la Figura 20. La absorción directa de un fotón es una transición

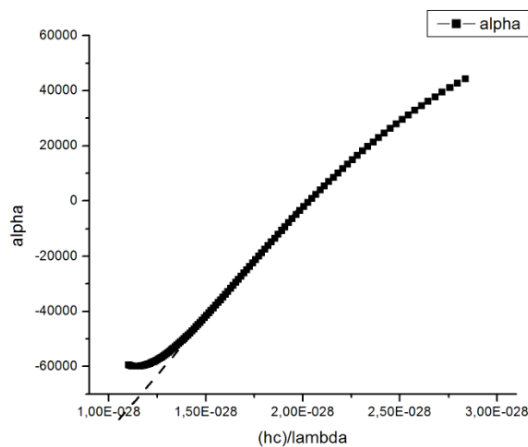


Figura 19: Determinación de la banda de energía prohibida E_g .

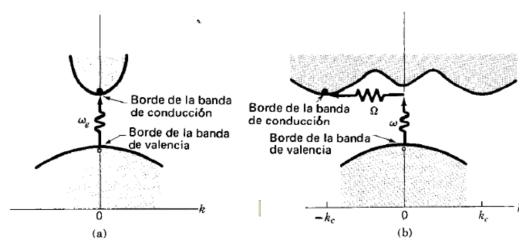


Figura 20: En (a) se presenta el proceso de transición entre la banda de valencia y la banda de conducción para un material de gap directo, tal transición se realiza por la interacción electrón-fotón. En (b) se involucra tanto un fotón como un fonón para que se de la transición de un electrón de la banda de valencia a la banda de conducción. Tomado de [3].

vertical desde la banda de valencia a la de conducción. Cuando un electrón hace una transición vertical desde la banda de conducción a la de valencia emite un fotón. También son posibles las transiciones indirectas que consisten en la absorción/emisión simultánea de un fotón y un fonón. El salto vertical corresponde al fotón y el cambio de k se debe al fonón. La transición indirecta tiene una frecuencia mucho menor que la directa[11].

IV. CONCLUSIONES

Del presente estudio realizado a una película delgada de Silicio compensado se extraen las siguientes conclusiones:

1. Se estudió la película suministrada, a la cual se le determinaron las constantes ópticas bajo el modelo propuesto por Swanepoel. La determinación de los T_M y T_m se realizó por interpo-

lación de Lagrange. Esto permitió determinar una ecuación de Cauchy de la forma

$$n(\lambda) = \frac{596000}{\lambda^2} + 3,4672. \quad (55)$$

2. A la película en estudio se le practicaron 5 ensayos de perfilometría en los que se determinó que el espesor es

$$d_p = 308,4998nm. \quad (56)$$

Por otro lado empleando el modelo propuesto, de acuerdo a la Figura 13 y por 14, se determinó que el valor d es de

$$d = 282,96nm \pm 3\%. \quad (57)$$

Y el error es del 8%.

3. El índice refracción s para el sustrato que en este caso corresponde al vidrio está dentro del orden de magnitud reportado en la literatura

$$s = 1,5142. \quad (58)$$

4. De la comparación entre las Figuras 10, 11 y 13 se observa un comportamiento creciente del índice de refracción para bajas longitudes de onda en ambas gráficas. La diferencia radica en la el tipo de concentración y el elemento que se le ha aadido a la película en estudio.
5. Se estudio el comportamiento de la constante dieléctrica, su relación con el índice de refracción. Hallándose que el valor de la constante dieléctrica para una película delgada de Silicio compensado esta de acuerdo con lo reportado en la literatura.
6. El valor gap reportado para el Silicio en puro corresponde a $1,11eV$ y el valor del gap para la muestra estudiada corresponde a $0,7275eV$, la discrepancia se debe al nivel del concentración con que esta compensado la película de Silicio.

Apéndice A: Polinomios de interpolación de Lagrange

Los polinomios de interpolación de Lagrange corresponden a uno de los diversos métodos que para $n + 1$ puntos en un plano con diferentes coordenadas de x , permiten encontrar una función polinómica del menor grado posible que pase por esos $n + 1$ puntos. Tales polinomios son escritos de la forma

$$P(x) = \sum_{i=0}^n l_i(x)y_i, \quad (A1)$$

donde

$$l_i(x) = \prod_{m \neq i, m=0}^n \frac{x - x_m}{x_i - x_m}. \quad (A2)$$

Y al expandir la productoria se tiene

$$l_i(x) = \prod_{m \neq i, m=0}^n \frac{x - x_m}{x_i - x_m} = \frac{x - x_0}{x_i - x_0} \dots \frac{x - x_{i-1}}{x_i - x_{i-1}} \cdot \frac{x - x_{i+1}}{x_i - x_{i+1}} \dots \frac{x - x_n}{x_i - x_n} \quad (\text{A3})$$

Estos polinomios son construidos con una propiedad importante que dice,

$$l_i(x_j) = \delta_{ij}. \quad (\text{A4})$$

Este método, ofrece un mejor ajuste de los puntos T_M y T_m que fueron hallados experimentalmente para el espectro de transmitancia de la Figura 4.

Tales polinomios de interpolación puesto que para el espectro obtenido de la medición de la muestra de silicio compensado en partes por millón, se quiere encontrar una función de la envolvente del espectro con base en los máximos y mínimos de transmitancia obtenidos de la medición que en este caso es de 3 máximos y 3 mínimos. Para el presente trabajo realizado los polinomios de interpolación de Lagrange se interpretan de la siguiente manera:

1. La variable x corresponde a la longitud de onda del espectro obtenido en la medición.
2. x corresponde a la longitud de onda del espectro obtenido en la medición,
3. x_m corresponde a la longitud de onda siguiente o anterior a la longitud de onda correspondiente a cada máximos o mínimos de transmitancia medidos en el espectro de la muestra del punto que se está utilizando para la interpolación,
4. x_i corresponde a la longitud de onda del punto que se está interpolando y
5. y_i es el valor de la transmitancia que corresponde al punto x_i que se está analizando.

Apéndice B: Análisis de incertidumbre y error

1. Incertidumbre en las mediciones

Para realizar el análisis en la incertidumbre en las mediciones se consideran los siguientes casos:

1. Si la propagación del error proviene de una ecuación se aplica la relación

$$\Delta f = \sum_{i=1}^n \left| \frac{\partial f}{\partial x_i} \Delta x_i \right|. \quad (\text{B1})$$

Siendo Δx_i la incertidumbre en las mediciones y Δf la incertidumbre propagada. Esta es la forma en que la que se hallará el error para n , α y k .

2. Si la medida proviene de promediar un conjunto de datos, la incertidumbre es la desviación estándar, calculada fácilmente a través de herramientas de software.

3. Sí la medida se obtiene a partir de un método de ajuste a una recta, como es el caso del espesor de la película, d , y la energía de gap E_g . Se aplica la técnica que se describe a continuación: Se hace un promedio de los errores de las variables ubicadas en los ejes x e y en la gráfica

$$\sigma_x = \frac{\sum_{i=1}^n x_i}{n} \quad (\text{B2})$$

$$\sigma_y = \frac{\sum_{i=1}^n y_i}{n} \quad (\text{B3})$$

A partir de los cuales se halla un parámetro σ

$$\sigma = \sqrt{\sigma_y^2 + m^2 \sigma_x^2} \quad (\text{B4})$$

Con m la pendiente de la recta. A partir de este parámetro se hallan la incertidumbre en la pendiente y en el intercepto con el eje y .

$$\Delta m = \sqrt{\frac{n\sigma^2}{n \sum_{i=1}^n x_i^2 - (\sum_{i=1}^n x_i)^2}} \quad (\text{B5})$$

$$\Delta c = \sqrt{\frac{\sigma^2 \sum_{i=1}^n x_i^2}{n \sum_{i=1}^n x_i^2 - (\sum_{i=1}^n x_i)^2}} \quad (\text{B6})$$

Aplicando los métodos descritos según los casos correspondientes, se halla primero una incertidumbre para n a partir de

$$n(\lambda) = \frac{596000}{\lambda^2} + 3,3672. \quad (\text{B7})$$

bajo la hipótesis que se halló una relación analítica entre n y λ dada por (50)

$$\Delta n = \frac{1,19 * 10^6 \Delta \lambda}{\lambda^3} \quad (\text{B8})$$

Según especificaciones técnicas $\Delta \lambda = 0,02nm$ para el espectrofómeto Cary 5000, lo cual permite a su vez hallar la incertidumbre de $\frac{n}{\lambda}$

$$\Delta \left(\frac{n}{\lambda} \right) = \frac{\Delta n}{\lambda} + \frac{n \Delta \lambda}{\lambda^2} \quad (\text{B9})$$

Esto corresponde al error en los datos del eje x para el método gráfico que permiten determinar el espesor de la película d_{Teo} . Posteriormente se aplica el método 3, teniendo en cuenta que $\sigma_y = 0$, pues en el eje y sólo se ubican valores $\frac{l}{2}$ que no llevan ningún error inherente, se encuentra la incertidumbre en la pendiente. Dado que

$$\Delta d = \frac{\Delta m}{2}. \quad (\text{B10})$$

Así se encuentra que la incertidumbre para el espesor es de

$$\Delta d = 8,447 \text{ nm}, \quad \Delta d = 2,985 \%. \quad (\text{B11})$$

Los datos calculados a partir de (37) para x se observó que todos son cercanos 1. Por lo cual, es posible aplicar el método 2 y considerar el error en x como su desviación estándar. Se halla que

$$\Delta x = 0,009, \quad \Delta x = 0,919 \%. \quad (\text{B12})$$

Utilizando el método 1 se pueden encontrar las incertidumbres en α y k

$$\Delta \alpha = \frac{\ln x \Delta d}{d^2} + \frac{\Delta x}{x d} \quad (\text{B13})$$

$$\Delta k = \frac{1}{4\pi} (\Delta \alpha \lambda + \alpha \Delta \lambda) \quad (\text{B14})$$

Dado que el cálculo en el gap proviene de un método gráfico, en el cual el valor de esta energía es el intercepto en el *eje x*, se utiliza el método 3, teniendo en cuenta que, para poder aplicar correctamente

$$\Delta c = \sqrt{\frac{\sigma^2 \sum_{i=1}^n x_i^2}{n \sum_{i=1}^n x_i^2 - (\sum_{i=1}^n x_i)^2}}, \quad (\text{B15})$$

donde $\Delta \alpha$ son los errores Δx_i y $\Delta \left(\frac{hc}{\lambda}\right)$ son los errores Δy_i . Calculando los Δx_i y $\Delta \left(\frac{hc}{\lambda}\right)$ a partir de

$$\Delta \left(\frac{hc}{\lambda}\right) = \frac{hc \Delta \lambda}{\lambda^2}. \quad (\text{B16})$$

Por otro lado, se tiene que la incertidumbre en el gap corresponde a

$$\Delta E_g = 0,0357 \text{ eV}, \quad \Delta E_g = 2,842 \%. \quad (\text{B17})$$

2. Cálculo de error

El error ϵ en la medición se determina mediante

$$\epsilon = \left| \frac{V_m - V_r}{V_r} \right|, \quad (\text{B18})$$

donde V_m corresponde al valor obtenido en la medición y V_r es un valor que se usa como referencia. Para el valor de referencia del espesor de la película se realizó un conjunto de 5 mediciones de *perfilometría*. Promediando los datos de las 5 mediciones a partir de los datos entre la zona de la medición entre los 4000Å y los 5000Å se obtiene un espesor de la película de Silicio compensado

$$d_r = 308,500 \text{ nm}. \quad (\text{B19})$$

A partir del cual el error en la medición del espesor es de

$$d = 25,519 \text{ nm}, \quad \epsilon = 8,272 \%. \quad (\text{B20})$$

Teniendo en cuenta la incertidumbre en la medida del espesor, el error puede reducirse hasta 5,287 %.

References

- [1] R Swanepoel. J. Phys. E: Sci. Instrum. 16 (1983) 1214
- [2] Mesa F, Ballesteros V, Dussan A (2014) Cálculo de constantes ópticas de películas delgadas de Cu_3BiS_3 a través del método de Wolfe. Universitas Scientiarum 19(2): 123-131 doi: 10.11144/Javeriana.SC19-2.ccop
- [3] Kittel, C., Introduction to Solid State Physics, 6th Ed., New York:John Wiley, 1986.
- [4] D. Garzon , A. Dussan , J. Malambo. Revista Colombiana de Física , Vol. 43, No. 2 de 2011.
- [5] Polinomios de interpolacion de Lagrange. Consultado mayo del 2015, disponible en: <http://www.matematicasvisuales.com/html/analisis/interpolacion/lagrange.html>.
- [6] E D. Palik. Handbook of Optical Constants of Solids, . Academic Press, Boston, 1985
- [7] Indice de refracción del Silicio. Consultado mayo del 2015, disponible en: <http://www.nist.gov/data/PDFfiles/jpcrd162.pdf>
- [8] Constante dieléctrica para el Silicio. Consultado mayo del 2015, disponible en: <http://www.ioffe.ru/SVA/NSM/Semicond/Si/basic.html>
- [9] T. J. Akai. Métodos Numéricos aplicados a la ingeniería. Limusa Wiley, 2000.
- [10] Universidad de Antioquia. Introducción al método de mínimos cuadrados. Medellín, 2010.
- [11] Gap directo-indirecto. Consultado mayo del 2015, disponible en: http://ocw.upc.edu/sites/default/files/materials/15014928/3.-_semiconductores-4826.pdf